

## 破碎効果の探査法について

関西大学工学部 正員 谷口 敬一郎  
関西大学工学部 正員 井上 啓司

1. まえがき 水中において、掘削を目的として発破を行なう場合、発破による岩盤の破碎の程度を十分にはあくすることはかなり困難な問題である。とくに、海底に積層を残置して、その下部岩盤を爆破する Over burden 法では破碎の程度を十分に予知しておかなければ、以後の削掘工におよぼす影響が大きい。

本報告は、弾性波探査と電気探査の手法を利用して、岩盤の破碎効果の探査について実験検討し、結果を報告するものである。

2. 実験方法 コンクリート水槽内に約 20 cm のモルタルを打設し、このモルタルの破碎効果を測定した。発破孔は 4 本 4 列計 16 本を 1 回の発破孔群とし、電気雷管が挿入できるよう深さ 6 cm とした。また各孔間隔を 6 cm 8 cm 10 cm とした。実験方法は、図-1 に示したように各発破孔に電気雷管(6 号)を挿入した後 20 cm の Over burden に砂質土を用い設置し、さらに約 3% の塩水を水深 20 cm までみなし、模型とした。

測定方法は、電気探査法によるものと弾性波探査法によるものと種類について行なった。電気探査法は、図-2 に示したように、4 極法と 2 極法とにより測定を行ない、両者の比較を行なつた。このときの電極間隔  $\alpha$  は外側発破孔より 10 cm 離れた点、レーベルで、発破孔間隔 6 cm のときの  $\alpha$  は 38 cm、8 cm の  $\alpha$  は 44 cm、10 cm の  $\alpha$  は 50 cm である。4 極法における電極配置は、Wenner の方法で各々の間隔で設置した。2 極法の場合は、 $P_1, C_1$  の間隔は各々とし、 $P_2, C_2$  の電極は無限大の点として測定発破孔から最も離れた水槽の端に設置した。

弾性波探査については、受振器を各発破孔群の外側より 10 cm 離れた地盤の左右ニギーに設置し、振源としては鉄棒を介してハンマーの打撃を用いた。この測定方法の略図を図-3 に示した。また、受振器は Geospace 製の HS-J ZB 型を使用しメモリスコープによつて測定した。

3. 測定結果 電気探査法による測定結果は、表-1 に示すとおり 4 極法における発破前の比振幅値は約 10~16  $\mu\text{m}$  を示しているが、発破後の測定値は 1.2~1.5  $\mu\text{m}$  と大幅に低下している。これは、発破により破碎されたモルタルが飛散したのと破碎によつて

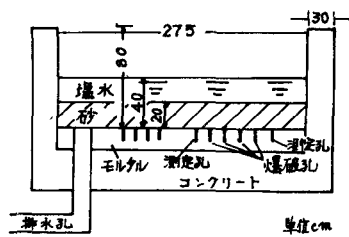


図-1 実験水槽断面図  
4極法による測定方法

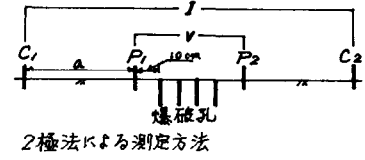


図-2 電気探査測定方法

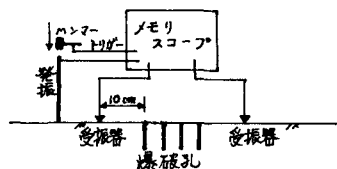


図-3 弾性波探査測定方法

生じたヒビ割れが侵入したことによる比抵抗の低下と考えられる。2極法による比抵抗値の発破前の値は電極間隔が大きくなるにしたがって比例的に大きくなつてゐるが、発破後においては、ばらつてゐる。発破後に破碎の状態を上部砂質土を撤去して確認したところ  $a = 50\text{cm}$  では、ヒビ割れが生じた程度であり、 $a = 44\text{cm}$  では、中央部に大きな破碎が生じモルタルが砂質土中に飛散していく。 $a = 38\text{cm}$  は、破碎が生じて一部飛散していくが  $a = 44\text{cm}$  の時ほど飛散状態ではなかつた。そのため、2極法による発破後の値が  $a = 44\text{cm}$  で最少と示したものと考えられる。また  $a = 38\text{cm}$  の場合は発破孔より  $10\text{cm}$  離れて電極を設置したことにより発破区域外の破碎されない部分の比抵抗値が大きく影響しているものと考えられる。

電気探査法においては、4極法、2極法のいづれによつても発破の前後において大きく比抵抗値が変化する点が明らかとなつた。しかし、破碎の状態を考えると、2極法成効果の判定方法として適していると考えられる。

弾性波探査法による測定結果は、表-2に示すとおり発破前ににおけるモルタルの伝ば速度は  $3000 \sim 3800 \text{ m/sec}$  を示した。第1列の  $10\text{cm}$  間隔で発破孔を配置して伝ば速度が  $5000 \text{ m/sec}$  と大きく他と異なつてゐる。これはモルタルの厚さが  $20\text{cm}$  に満たないからことと受振器間隔が  $50\text{cm}$  であることなどにより底部コンクリートの伝ば速度が表われたものと考えられる。発破後の伝ば速度の低下量は約  $300 \sim 1800 \text{ m/sec}$  と範囲が広くばらつてゐる。これは、発破により一部受振器が移動したためと考えられる。しかし、速度低下は一様に示してゐることから受振器の設置方法を考慮すれば破碎の効果が判定できると考えられる。

4. あとがき 破碎の効果を判定する方法として、電気探査法、弾性波探査法により実験を行なつたが、電気探査法における2極法がより顕著に表われる点が明らかとなつた。しかし、破碎の程度を知るには、電気探査法においてはゾンドベルグの間ゲキを有する岩石の比抵抗値の考え方を応用すれば、35～50%の間ゲキができる点となり破碎の状況から判断すると実際量より大きい値であると考えられる。そこで今後は、破碎量と比抵抗値との関係について検討を進めなければならない。また、弾性波探査法においては、ヒビ割れ係数による判定が考えられるが発破前に生じているヒビ割れを考慮したヒビ割れと弾性波伝ば速度の関係が明らかにされていないため、破碎の程度を判定するにはこの種の検討を進めなければならぬ。

#### 参考文献

- 金田、井上、石口、「ヒビ割れ物体の弾性波速度について」第29回土木学会年次学術講演会概要集 II-209  
志村馨「電気探査法」昭晃堂版。

表-1 電気探査法による測定値

$\delta$	$a$	0.50m	0.44m	0.38m
4 2 法	1列 目 1	10.43	13.71	16.14
	2列 目 2	15.4	13.9	13.1
2 1 法	1列 目 1	10.36	17.86	16.61
	2列 目 2	15.3	12.9	11.9
2 2 法	1列 目 1	5.59	16.91	19.31
	2列 目 2	1.85	0.93	1.50
2 3 法	1列 目 1	9.99	11.49	23.33
	2列 目 2	8.3	3.98	4.58

表-2 弾性波探査法による測定値

第1例

弾性波伝播速度		
穴の直径	爆破前	爆破後
10 cm	5000 $\text{m/s}$	3205 $\text{m/s}$
8	3577	2839
6	3010	2734

第2例

弾性波伝播速度		
穴の直径	爆破前	爆破後
10 cm	3876 $\text{m/s}$	3049 $\text{m/s}$
8	3894	2352
6	3220	2676